





دانشگاه صنعتی اصفهان
دانشکده منابع طبیعی

بررسی تغییرات بارندگی در ایران به کمک شاخص‌های اقیانوسی - اتمسفری

پایان‌نامه کارشناسی ارشد بیابان‌زدایی

ربانه روغنی

استاد راهنما

دکتر سعید سلطانی



دانشگاه صنعتی اصفهان
دانشکده منابع طبیعی

پایان نامه کارشناسی ارشد رشته بیابان‌زدایی
تحت عنوان

بررسی تغییرات بارندگی در ایران به کمک شاخص‌های اقیانوسی - اتمسفری

در تاریخ ۱۳۸۹/۱۲/۹ توسط کمیته تخصصی زیر مورد بررسی و تصویب نهایی قرار گرفت.

دکتر سعید سلطانی

۱- استاد راهنمای پایان نامه

دکتر حسین بشری

۲- استاد مشاور پایان نامه

دکتر سیدسعید اسلامیان

۳- استاد داور

دکتر منیره فرامرزی

۴- استاد داور

دکتر نورالله میرغفاری

سرپرست تحصیلات تکمیلی

تشکر و قدردانی

پس از سپاس پروردگار مهربان، بر خود لازم می‌دانم مراتب تشکر و کمال سپاسگزاری خود را تقدیم کسانی نمایم که در مراحل انجام این تحقیق مرا یاری نمودند.

شایسته است از مساعدت‌های استاد راهنمایم، جناب آقای دکتر سعید سلطانی به پاس تلاش دلسوزانه، رهنمودهای ارزنده و صبر و حوصله‌ای که در پاسخگویی به نادانسته‌هایم مبذول داشته و با ارائه نظریات ارزشمندشان در هر چه پربار کردن این پایان‌نامه کوشیده‌اند، نهایت تشکر و قدردانی را ابراز نمایم.

از جناب آقای دکتر حسین بشری به سبب مشاوره در مراحل مختلف اجرای این تحقیق تشکر می‌کنم؛ همچنین از راهنمایی آقای Ian Partridge در رابطه با نرم‌افزار Rainmaan سپاسگزارم.

از اساتید گرامی، جناب آقای دکتر سعید اسلامیان و سرکار خانم دکتر منیره فرامرزی که زحمت بازنگری این پایان‌نامه را بر عهده داشتند و جناب آقای دکتر نوراله میرغفاری، سرپرست تحصیلات تکمیلی دانشکده منابع طبیعی، کمال تشکر را دارم.

از همکاری سازمان هواشناسی کل کشور و استان اصفهان به جهت ارائه داده‌های اقلیمی قدردانی می‌گردد.

از تمامی دوستان عزیزم و کسانی که حقی بر گردن من دارند و باعث پیشرفت من شده‌اند، سپاسگزارم. برای همه عزیزان سلامتی و موفقیت را آرزومندم.

در پایان، صمیمانه ترین سپاس‌ها را تقدیم به تک اعضای خانواده‌ام که در تمام مراحل زندگیم یار و همراه و مشوق من بوده‌اند، می‌نمایم.

کلیه حقوق مادی مترتب بر نتایج مطالعات،
ابتكارات و نوآوریهای ناشی از تحقیق موضوع این
پایان نامه (رساله) متعلق به دانشگاه صنعتی اصفهان است.

لقد يكمب

مادر عزیزم

فهرست مطالب

<u>صفحه</u>	<u>عنوان</u>
..... هشت	فهرست مطالب
..... یازده	فهرست جداول
..... چهارده	فهرست شکل‌ها
..... ۱	چکیده
..... ۲	فصل اول: مقدمه
..... ۸	فصل دوم: بررسی منابع
..... ۸	۱- پیشینه تحقیق در مورد تأثیر نوسانات اتمسفری - اقیانوس بر اقلیم ایران
..... ۸	۱-۱- الینو نوسان جنوبی (انسو)
..... ۱۲	۱-۲- نوسان اطلس شمالی (NAO)
..... ۱۳	۱-۳- الگوی دریای شمال - خزر (NCP)
..... ۱۴	۱-۴- نوسانات مختلف حوزه مدیترانه
..... ۱۴	۱-۵- دمای سطح آب (SST)
..... ۱۵	۱-۶- سایر نوسانات اتمسفری - اقیانوسی و ترکیب چند نوسان
..... ۱۸	۲- پیشینه تحقیق در مورد تأثیر نوسانات اتمسفری - اقیانوس بر اقلیم جهان و کشورهای خارجی
..... ۱۸	۲-۱- الینو نوسان جنوبی (انسو)
..... ۲۴	۲-۲- نوسان اطلس شمالی (NAO)
..... ۲۶	۲-۳- الگوی دریای شمال - خزر (NCP)
..... ۲۷	۲-۴- نوسانات مختلف حوزه مدیترانه
..... ۲۹	۲-۵- دمای سطح آب (SST)
..... ۳۰	۲-۶- سایر نوسانات اتمسفری - اقیانوسی و ترکیب چند نوسان
..... ۳۳	فصل سوم: مواد و روش‌ها
..... ۳۳	۱- منطقه مورد مطالعه
..... ۳۵	۲- داده‌های مورد استفاده
..... ۳۶	۳- شاخص‌های نوسانات اتمسفری - اقیانوسی
..... ۳۶	۳-۱- شاخص نوسان جنوبی (SOI)
..... ۳۸	۳-۲- شاخص دمای سطح آب اقیانوس آرام (SST1) و اقیانوس هند (SST2)
..... ۳۹	۳-۳- شاخص نوسان اطلس شمالی (NAO)
..... ۴۰	۳-۴- شاخص الگوی دریای شمال - خزر (NCP)
..... ۴۱	۳-۵- شاخص‌های نوسانات مدیترانه‌ای
..... ۴۳	۳-۶- شاخص دمای سطح آب مدیترانه (MSST) و خلیج فارس (PGSST)
..... ۴۵	۴- روش مطالعه

..... ۴۵ Rainman ۳-۴-۱ نرم افزار
..... ۴۸ همبستگی پیرسون ۳-۴-۲
..... ۴۸ مدل رگرسیونی چند متغیره گام به گام ۳-۴-۳
..... ۵۰ فصل چهارم: نتایج و بحث
..... ۵۰ ۴-۱ بارندگی ایران و پدیده انسو
..... ۵۰ ۴-۱-۱ بارندگی ماهانه ایران و میانگین SOI
..... ۶۱ ۴-۱-۲ بارندگی فصلی ایران و میانگین SOI
..... ۶۸ ۴-۱-۳ بارندگی ماهانه ایران و فازهای پنج گانه SOI
..... ۷۳ ۴-۱-۴ بارندگی فصلی ایران و فازهای پنج گانه SOI
..... ۷۷ ۴-۱-۵ بارندگی ماهانه ایران و SST اقیانوس آرام
..... ۸۲ ۴-۱-۶ بارندگی فصلی ایران و SST اقیانوس آرام
..... ۸۳ ۴-۱-۷ بارندگی ماهانه ایران و SST اقیانوس هند
..... ۸۸ ۴-۱-۸ بارندگی فصلی ایران و SST اقیانوس هند
..... ۹۱ ۴-۱-۸ توانایی نرم افزار Rainman در پیش‌بینی ماهانه و فصلی بارش ایران
..... ۹۱ ۴-۲ بارندگی ایران و نوسانات اقیانوسی- اتمسفری نیمکره شمالی
..... ۹۲ ۴-۲-۱ بارش ماهانه ایران و نوسان اطلس شمالی (NAO)
..... ۹۶ ۴-۲-۲ بارش فصلی ایران و نوسان اطلس شمالی (NAO)
..... ۹۹ ۴-۲-۳ بارش ماهانه ایران و الگوی دریای شمال - خزر (NCP)
..... ۱۰۴ ۴-۲-۴ بارش فصلی ایران و الگوی دریای شمال - خزر (NCP)
..... ۱۰۷ ۴-۲-۵ بارش ماهانه ایران و نوسان مدیترانه‌ای الجزایر- قاهره (MOac)
..... ۱۱۲ ۴-۲-۶ بارش فصلی ایران و نوسان مدیترانه‌ای الجزایر- قاهره (MOac)
..... ۱۱۵ ۴-۲-۷ بارش ماهانه ایران و نوسان مدیترانه‌ای جبل الطارق- اسرائیل (MOgi)
..... ۱۱۹ ۴-۲-۸ بارش فصلی ایران و نوسان مدیترانه‌ای جبل الطارق- اسرائیل (MOgi)
..... ۱۲۲ ۴-۲-۹ بارش ماهانه ایران و شاخص گردشی مدیترانه‌ای (MCI)
..... ۱۲۶ ۴-۲-۹ بارش فصلی ایران و شاخص گردشی مدیترانه‌ای (MCI)
..... ۱۲۹ ۴-۲-۱۱ بارش ماهانه ایران و نوسان غرب مدیترانه (WeMO)
..... ۱۳۳ ۴-۲-۱۲ بارش فصلی ایران و نوسان غرب مدیترانه (WeMO)
..... ۱۳۶ ۴-۲-۱۳ بارش ماهانه ایران و دمای سطح آب دریای مدیترانه (MSST)
..... ۱۴۱ ۴-۲-۱۴ بارش فصلی ایران و دمای سطح آب دریای مدیترانه (MSST)
..... ۱۴۱ ۴-۲-۱۵ بارش ماهانه ایران و دمای سطح آب دریای خلیج فارس (PGSST)
..... ۱۴۶ ۴-۲-۱۶ بارش فصلی ایران و دمای سطح آب خلیج فارس (PGSST)
..... ۱۴۹ ۴-۳ بررسی روابط معنی دار میان بارش فصلی ایران و شاخص‌های نوسانات اقیانوسی- جوی با استفاده از رگرسیون چند متغیره

۱۵۰.....	۱-۳-۴ معادلات رگرسیونی مربوط به بارش گروه اول
۱۵۲.....	۲-۳-۴ معادلات رگرسیونی مربوط به بارش گروه دوم
۱۵۴.....	۳-۳-۴ معادلات رگرسیونی مربوط به بارش گروه سوم
۱۵۶.....	۴-۳-۴ معادلات رگرسیونی مربوط به بارش گروه چهارم
۱۵۸.....	۵-۳-۴ معادلات رگرسیونی مربوط به بارش گروه پنجم
۱۶۰.....	۶-۳-۴ معادلات رگرسیونی مربوط به بارش گروه ششم
۱۶۱.....	۷-۳-۴ معادلات رگرسیونی مربوط به بارش گروه هفتم
۱۶۳.....	فصل پنجم: نتیجه‌گیری
۱۶۴.....	۱-پدیده انسو و بارش ایران
۱۶۶.....	۲-نوسانات نیمکره شمالی (NAO و NCP) و بارش ایران
۱۶۸.....	۳-نوسانات مدیترانه‌ای و بارش ایران
۱۷۱.....	۴-دماهی سطح آب (PGSST و MSST) و بارش ایران
۱۷۲.....	۵-شاخص‌های نوسانات اتمسفری - اقیانوسی و مناطق همگن بارش در ایران
۱۷۴.....	۶-پیشنهادات
۱۷۴.....	۱-۶-۵ پیشنهادات تحقیقاتی
۱۷۵.....	۲-۶-۵ پیشنهادات کاربردی
۱۷۶.....	منابع

فهرست جداول

صفحه

عنوان

۳۹.....	جدول ۱-۳ طبقه‌بندی مقادیر SST1 و SST2 و تعیین نه فاز دمایی اقیانوس آرام و هند
۴۵.....	جدول ۲-۳ دوره‌های سه‌ماهه SOI در زمان‌پیشی مختلف برای بارش پائیزه (اکتبر-دسامبر)
۵۲.....	جدول ۳-۴ نتایج آزمون‌های آماری KS، LEPS و میزان درصد احتمال میانه در مورد میانگین SOI (سپتامبر-نومبر) و بارندگی ماه مارس ایستگاه‌های نواحی ساحلی غرب دریای خزر (زمان‌پیشی سه ماه)
۵۳.....	جدول ۴-۴ مقادیر احتمال KW برای بارندگی ماه‌های ژانویه، فوریه و مارس ایستگاه‌های مورد مطالعه و میانگین SOI در حالات همزمان و زمان‌پیشی صفر الی سه ماه
۵۴.....	جدول ۴-۳ مقادیر احتمال KW برای بارندگی ماه‌های آوریل، می و ژوئن ایستگاه‌های مورد مطالعه و میانگین SOI در حالات همزمان و زمان‌پیشی صفر الی سه ماه
۵۵.....	جدول ۴-۴ مقادیر احتمال KW برای بارندگی ماه‌های اکتبر، نوامبر و دسامبر ایستگاه‌های مورد مطالعه و میانگین SOI در حالات همزمان و زمان‌پیشی صفر الی سه ماه
۵۶.....	جدول ۴-۵ ضرایب همبستگی میان بارندگی ماه‌های ژانویه، فوریه و مارس ایستگاه‌های مورد مطالعه و میانگین SOI در حالات همزمان و زمان‌پیشی صفر الی سه ماه
۵۷.....	جدول ۴-۶ ضرایب همبستگی میان بارندگی ماه‌های آوریل، می و ژوئن ایستگاه‌های مورد مطالعه و میانگین SOI در حالات همزمان و زمان‌پیشی صفر الی سه ماه
۵۸.....	جدول ۴-۷ ضرایب همبستگی میان بارندگی ماه‌های اکتبر، نوامبر و دسامبر ایستگاه‌های مورد مطالعه و میانگین SOI در حالات همزمان و زمان‌پیشی صفر الی سه ماه
۶۳.....	جدول ۴-۸ مقادیر احتمال KW در مورد بارندگی فصول زمستان، بهار و پائیز ایستگاه‌های مورد مطالعه و میانگین SOI در حالات همزمان و زمان‌پیشی صفر الی سه ماه
۶۴.....	جدول ۴-۹ ضرایب همبستگی میان بارندگی فصول زمستان، بهار و پائیز ایستگاه‌های مورد مطالعه و میانگین SOI در حالات همزمان و زمان‌پیشی صفر الی سه ماه
۶۷.....	جدول ۱۰-۴ نتایج آزمون‌های آماری KS، LEPS و میزان درصد احتمال میانه بارش در مورد میانگین SOI و بارندگی زمستانه (ژانویه-مارس) ایستگاه‌های نواحی ساحلی دریای خزر و جنوب‌غربی کشور، زمان‌پیشی سه ماه
۷۰.....	جدول ۱۱-۴ مقادیر احتمال KW برای بارندگی ماه‌های ژانویه، فوریه، مارس و آوریل ایستگاه‌های مورد مطالعه و فازهای پنج‌گانه SOI در حالات زمان‌پیشی صفر الی سه ماه
۷۱.....	جدول ۱۲-۴ مقادیر احتمال KW برای بارندگی ماه‌های می، اکتبر، نوامبر و دسامبر ایستگاه‌های مورد مطالعه و فازهای پنج‌گانه SOI در حالات زمان‌پیشی صفر الی سه ماه
۷۵.....	جدول ۱۳-۴ مقادیر احتمال KW برای بارندگی فصول زمستان، بهار و پائیز ایستگاه‌های مورد مطالعه و فازهای پنج‌گانه SOI در حالات زمان‌پیشی صفر الی سه ماه
۷۹.....	جدول ۱۴-۴ مقادیر احتمال KW برای بارندگی ماه‌های ژانویه، فوریه، مارس و آوریل ایستگاه‌های مورد مطالعه و فازهای SST اقیانوس آرام در حالات زمان‌پیشی صفر الی سه ماه
۸۰.....	جدول ۱۵-۴ مقادیر احتمال KW برای بارندگی ماه‌های می، اکتبر، نوامبر و دسامبر ایستگاه‌های مورد مطالعه و فازهای SST اقیانوس آرام در حالات زمان‌پیشی صفر الی سه ماه

جدول ۴-۱۶ مقادیر احتمال KW برای بارندگی فصول زمستان، بهار و پائیز ایستگاههای مورد مطالعه و فازهای SST اقیانوس آرام در حالات زمان‌پیشی صفر الی سه ماه ۸۲
جدول ۴-۱۷ نتایج آزمون‌های آماری KS، LEPS و میزان درصد احتمال میانه بارش در فازهای SST اقیانوس آرام و بارندگی زمستانه (ثانویه- مارس) ایستگاههای نواحی ساحلی دریای خزر، زمان‌پیشی یک ماه ۸۳
جدول ۴-۱۸ مقادیر احتمال KW برای بارندگی ماههای ثانویه، فوریه، مارس و آوریل ایستگاههای مورد مطالعه و فازهای SST اقیانوس هند در حالات زمان‌پیشی صفر الی سه ماه ۸۵
جدول ۴-۱۹ مقادیر احتمال KW برای بارندگی ماههای می، اکتبر، نوامبر و دسامبر ایستگاههای مورد مطالعه و فازهای SST اقیانوس هند در حالات زمان‌پیشی صفر الی سه ماه ۸۶
جدول ۴-۲۰ مقادیر احتمال KW برای بارندگی فصول زمستان، بهار و پائیز ایستگاههای مورد مطالعه و فازهای SST اقیانوس هند در حالات زمان‌پیشی صفر الی سه ماه ۸۹
جدول ۴-۲۲ ضرایب همبستگی همزمان و غیرهمzman مربوط به روابط معنی دار میان بارندگی ماهانه ایستگاههای مورد مطالعه و NAOi ۹۵
جدول ۴-۲۳ ضرایب همبستگی همزمان و غیرهمzman مربوط به روابط معنی دار میان بارندگی فصلی ایستگاههای مورد مطالعه و NAOi میانگین سه ماهه ۹۸
جدول ۴-۲۴ ضرایب همبستگی همزمان و غیرهمzman مربوط به روابط معنی دار میان بارندگی ماهانه ایستگاههای مورد مطالعه و شاخص NCP ۱۰۲
جدول ۴-۲۵ ضرایب همبستگی همزمان و غیرهمzman مربوط به روابط معنی دار میان بارندگی فصلی ایستگاههای مورد مطالعه و میانگین سه ماهه شاخص NCP ۱۰۶
جدول ۴-۲۶ ضرایب همبستگی همزمان و غیرهمzman مربوط به روابط معنی دار میان بارندگی ماهانه ایستگاههای مورد مطالعه و شاخص MOac ۱۱۰
جدول ۴-۲۷ ضرایب همبستگی همزمان و غیرهمzman مربوط به روابط معنی دار میان بارندگی فصلی ایستگاههای مورد مطالعه و میانگین سه ماهه شاخص MOac ۱۱۴
جدول ۴-۲۸ ضرایب همبستگی همزمان و غیرهمzman مربوط به روابط معنی دار میان بارندگی ماهانه ایستگاههای مورد مطالعه و شاخص MOgi ۱۱۸
جدول ۴-۲۹ ضرایب همبستگی همزمان و غیرهمzman مربوط به روابط معنی دار میان بارندگی فصلی ایستگاههای مورد مطالعه و میانگین سه ماهه شاخص MOgi ۱۲۱
جدول ۴-۳۰ ضرایب همبستگی همزمان و غیرهمzman مربوط به روابط معنی دار میان بارندگی ماهانه ایستگاههای مورد مطالعه و شاخص MCI ۱۲۵
جدول ۴-۳۱ ضرایب همبستگی همزمان و غیرهمzman مربوط به روابط معنی دار میان بارندگی فصلی ایستگاههای مورد مطالعه و میانگین سه ماهه شاخص MCI ۱۲۸
جدول ۴-۳۲ ضرایب همبستگی همزمان و غیرهمzman مربوط به روابط معنی دار میان بارندگی ماهانه ایستگاههای مورد مطالعه و شاخص WeMO ۱۳۲
جدول ۴-۳۳ ضرایب همبستگی همزمان و غیرهمzman مربوط به روابط معنی دار میان بارندگی فصلی ایستگاههای مورد مطالعه و میانگین سه ماهه شاخص WeMO ۱۳۵

جدول ۴-۳۴ ضرایب همبستگی همزمان و غیرهمزمان مربوط به روابط معنی دار میان بارندگی ماهانه ایستگاههای مورد مطالعه و شاخص MSST	۱۳۹
جدول ۴-۳۵ ضرایب همبستگی همزمان و غیرهمزمان مربوط به روابط معنی دار میان بارندگی ماهانه ایستگاههای مورد مطالعه و شاخص PGSST	۱۴۴
جدول ۴-۳۶ ضرایب همبستگی همزمان و غیرهمزمان مربوط به روابط معنی دار میان بارندگی فصلی ایستگاههای مورد مطالعه و میانگین سه ماهه شاخص PGSST	۱۴۸
جدول ۴-۳۷ طبقه‌بندی ایستگاههای مورد مطالعه در مناطق همگن بارندگی	۱۵۰
جدول ۴-۳۸ معادلات رگرسیونی بارندگی فصلی ایستگاههای گروه اول	۱۵۱
جدول ۴-۳۹ معادلات رگرسیونی بارندگی فصلی ایستگاههای گروه دوم	۱۵۳
جدول ۴-۴۰ معادلات رگرسیونی بارندگی فصلی ایستگاههای گروه سوم	۱۵۶
جدول ۴-۴۱ معادلات رگرسیونی بارندگی فصلی ایستگاههای گروه چهارم	۱۵۷
جدول ۴-۴۲ معادلات رگرسیونی بارندگی فصلی ایستگاههای گروه پنجم	۱۵۹
جدول ۴-۴۳ معادلات رگرسیونی بارندگی فصلی ایستگاههای گروه ششم	۱۶۱
جدول ۴-۴۴ معادلات رگرسیونی بارندگی فصلی ایستگاههای گروه هفتم	۱۶۲
جدول ۱-۵ خلاصه‌ای از روابط معنی دار و مناسب جهت پیش‌بینی بارش ماهانه و فصلی ایران با استفاده از نرم‌افزار Rainman	۱۶۵
جدول ۵-۲ خلاصه روابط معنی دار میان شاخص‌های NAO و NCP با بارش ماهانه و فصلی ایران	۱۶۷
جدول ۵-۳ خلاصه روابط معنی دار میان شاخص‌های نوسانات مدیترانه‌ای (MOgi، MOac، MCI و WeMO) با بارش ماهانه و فصلی ایران	۱۶۹
جدول ۵-۴ خلاصه روابط معنی دار میان شاخص‌های دمای سطح آب (PGSST و MSST) و بارندگی ماهانه و فصلی ایران	۱۷۲

فهرست شکل‌ها

عنوان	
شکل ۱-۱ مقایسه دمای سطح آب و شرایط جوی در پهنه اقیانوس آرام در حالت (الف) نرمال و (ب) الینو	۴
شکل ۱-۳ توزیع مکانی میانه بارندگی (a) فصل پائیز، (b) زمستان، (c) بهار و (d) تابستان در ایران.	۳۵
شکل ۲-۳ نام، موقعیت و طول دوره آماری ایستگاه‌های سینوپتیک مورد مطالعه	۳۶
شکل ۳-۳ موقعیت تقریبی داروین و تاهیتی	۳۶
شکل ۴-۳ مرزهای فازهای SOI	۳۸
شکل ۵-۳ موقعیت تقریبی ایسلند، آزروس و جبل الطارق	۳۹
شکل ۶-۳ موقعیت و وضعیت قطب‌های محاسباتی NCP و جهت باد هنگام فاز منفی (a) و مثبت (b)	۴۱
شکل ۷-۳ موقعیت تقریبی قطب‌های محاسباتی شاخص‌های MOac، MCI و WeMO	۴۲
شکل ۸-۳ محدوده جغرافیایی زیرمجموعه HadISST1.1 جهت محاسبه MSST	۴۳
شکل ۹-۳ محدوده جغرافیایی زیرمجموعه HadISST1.1 جهت محاسبه PGSST	۴۴
شکل ۱۰-۳ موقعیت ایستگاه‌های مورد مطالعه در مناطق همگن بارندگی	۴۹
شکل ۱-۴ توزیع مکانی نتایج آزمون‌های آماری میانگین SOI ماه دسامبر و بارندگی ماه دسامبر (حالت همزمان)	۵۹
شکل ۲-۴ ضرایب همبستگی همزمان میان بارندگی و میانگین SOI در ماه اکتبر	۵۹
شکل ۳-۴ توزیع مکانی نتایج آزمون‌های آماری میانگین SOI (جولای-سپتامبر) و بارندگی ماه اکتبر، (زمان پیشی صفر ماه)	۶۰
شکل ۴-۴ توزیع مکانی نتایج آزمون‌های آماری میانگین SOI (ژوئن-آگوست) و بارندگی ماه اکتبر، (زمان پیشی یک ماه)	۶۰
شکل ۵-۴ توزیع مکانی نتایج آزمون‌های آماری میانگین SOI (اکتبر-دسامبر) و بارندگی پائیزه (اکتبر-دسامبر)، همزمان	۶۵
شکل ۶-۴ توزیع مکانی نتایج آزمون‌های آماری میانگین SOI (جولای-سپتامبر) و بارندگی پائیزه (اکتبر-دسامبر)، زمان پیشی صفر ماه	۶۶
شکل ۷-۴ توزیع مکانی نتایج آزمون‌های آماری میانگین SOI (ژوئن-آگوست) و بارندگی پائیزه (اکتبر-دسامبر)، زمان پیشی یک ماه	۶۶
شکل ۸-۴ توزیع مکانی نتایج آزمون‌های آماری میانگین SOI (می-جولای) و بارندگی پائیزه (اکتبر-دسامبر)، زمان پیشی دو ماه	۶۶
شکل ۹-۴ توزیع مکانی نتایج آزمون‌های آماری مربوط به فازهای SOI (آگوست-سپتامبر) و بارندگی ماه اکتبر (زمان پیشی صفر ماه)	۷۲
شکل ۱۰-۴ توزیع مکانی نتایج آزمون‌های آماری مربوط به فازهای SOI (جولای-آگوست) و بارندگی ماه اکتبر (زمان پیشی یک ماه)	۷۲
شکل ۱۱-۴ توزیع مکانی نتایج آزمون‌های آماری مربوط به فازهای SOI (آگوست-سپتامبر) و بارندگی پائیزه (زمان پیشی صفر ماه)	۷۶
شکل ۱۲-۴ توزیع مکانی نتایج آزمون‌های آماری مربوط به فازهای SOI (جولای-آگوست) و بارندگی پائیزه (زمان پیشی یک ماه)	۷۶
شکل ۱۳-۴ توزیع مکانی نتایج آزمون‌های آماری مربوط به فازهای SOI (می-ژوئن) و بارندگی پائیزه (زمان پیشی سه ماه)	۷۶
شکل ۱۴-۴ توزیع مکانی نتایج آزمون‌های آماری مربوط به فازهای SST اقیانوس آرام (سپتامبر) و بارندگی ماه اکتبر	۷۶

(زمان پیشی صفر ماه).....	۸۱
شکل ۴-۱۵ توزیع مکانی نتایج آزمون‌های آماری مربوط به فازهای SST اقیانوس آرام (نوامبر) و بارندگی ماه فوریه (زمان پیشی دو ماه).....	۸۱
شکل ۴-۱۶ توزیع مکانی نتایج آزمون‌های آماری مربوط به فازهای SST اقیانوس هند (سپتامبر) و بارندگی ماه اکتبر (زمان پیشی صفر ماه).....	۸۷
شکل ۴-۱۷ توزیع مکانی نتایج آزمون‌های آماری مربوط به فازهای SST اقیانوس هند (ژانویه) و بارندگی ماه فوریه (زمان پیشی صفر ماه).....	۸۷
شکل ۴-۱۸ توزیع مکانی نتایج آزمون‌های آماری مربوط به فازهای SST اقیانوس هند (دسامبر) و بارندگی زمستانه (ژانویه-مارس)، زمان پیشی صفر ماه.....	۹۰
شکل ۴-۱۹ توزیع مکانی نتایج آزمون‌های آماری فازهای SST اقیانوس هند (نوامبر) و بارندگی زمستانه (ژانویه-مارس)، زمان پیشی یک ماه.....	۹۰
شکل ۴-۲۰ توزیع مکانی ضرایب همبستگی مربوط به روابط معنی دار میان بارندگی ماهانه و NAOi.....	۹۴
شکل ۴-۲۱ توزیع مکانی ضرایب همبستگی مربوط به روابط معنی دار میان بارندگی فصلی و میانگین سه ماهه NAOi.....	۹۷
شکل ۴-۲۲ توزیع مکانی ضرایب همبستگی مربوط به روابط معنی دار میان بارندگی ماهانه و شاخص NCP.....	۱۰۱
شکل ۴-۲۳ توزیع مکانی ضرایب همبستگی مربوط به روابط معنی دار میان بارندگی فصلی و میانگین سه ماهه شاخص NCP.....	۱۰۵
شکل ۴-۲۴ توزیع مکانی ضرایب همبستگی مربوط به روابط معنی دار میان بارندگی ماهانه و شاخص MOac.....	۱۰۹
شکل ۴-۲۵ توزیع مکانی ضرایب همبستگی مربوط به روابط معنی دار میان بارندگی فصلی و میانگین سه ماهه شاخص MOac.....	۱۱۳
شکل ۴-۲۶ توزیع مکانی ضرایب همبستگی مربوط به روابط معنی دار میان بارندگی ماهانه و شاخص MOgi.....	۱۱۷
شکل ۴-۲۷ توزیع مکانی ضرایب همبستگی مربوط به روابط معنی دار میان بارندگی فصلی و میانگین سه ماهه شاخص MOgi.....	۱۲۰
شکل ۴-۲۸ توزیع مکانی ضرایب همبستگی مربوط به روابط معنی دار میان بارندگی ماهانه و شاخص MCI.....	۱۲۴
شکل ۴-۲۹ توزیع مکانی ضرایب همبستگی مربوط به روابط معنی دار میان بارندگی فصلی و میانگین سه ماهه شاخص MCI.....	۱۲۷
شکل ۴-۳۰ توزیع مکانی ضرایب همبستگی مربوط به روابط معنی دار میان بارندگی ماهانه و شاخص WeMO.....	۱۳۱
شکل ۴-۳۱ توزیع مکانی ضرایب همبستگی مربوط به روابط معنی دار میان بارندگی فصلی و میانگین سه ماهه شاخص WeMO.....	۱۳۴
شکل ۴-۳۲ توزیع مکانی ضرایب همبستگی مربوط به روابط معنی دار میان بارندگی ماهانه و شاخص MSST.....	۱۳۸
شکل ۴-۳۳ توزیع مکانی ضرایب همبستگی مربوط به روابط معنی دار میان بارندگی ماهانه و شاخص PGSST.....	۱۴۳
شکل ۴-۳۴ توزیع مکانی ضرایب همبستگی مربوط به روابط معنی دار میان بارندگی فصلی و میانگین سه ماهه شاخص PGSST.....	۱۴۷
شکل ۵-۱ شاخص‌های نوسانات اتمسفری- اقیانوسی مؤثر بر بارش زمستانه (a)، بهاره (b)، تابستانه (c) و پائیزه (d) مناطق همگن بارش در ایران.....	۱۷۳

چکیده

در مناطق خشک و نیمه خشک تغییرپذیری زمانی و مکانی بارش بسیار بالاست، لذا شناخت عوامل مؤثر بر بارش این مناطق از جمله ایران در جهت پیش‌بینی بارش و مدیریت منابع آب اهمیت ویژه‌ای دارد. نوسانات اقیانوسی- اتمسفری از جمله پدیده‌های نیو نوسانات جنوبی (انسو)، به عنوان یکی از عوامل تأثیرگذار بر بارش مناطق مختلف جهان شناخته شده است. در این مطالعه روابط نوسانات اقیانوسی- اتمسفری مختلف با بارش ماهانه و فصلی ایران بررسی شد. برای این منظور، از داده‌های ماهانه بارندگی 50 mm ایستگاه سینوپتیک در ایران با حداقل 30 سال طول دوره آماری تا سال 2007 استفاده گردید. (الف) ابتدا در نرمافزار Rainman، بر اساس شاخص‌های نوسان جنوبی (Sea Surface Temperature, SST) و دمای سطح آب (Southern Oscillation Index, SOI) غیرهمزان (زمان‌پیشی صفر الی سه ماه) میان پدیده انسو و بارش ماهانه و فصلی ایران بررسی گردید. بدین منظور سری ماهانه و یا فصلی بارندگی طی چهار روش (میانگین SOI، فازهای SST اقیانوس آرام و فازهای SST اقیانوس هند) با در نظر گرفتن زمان‌پیشی معین، به گروه‌های مختلف تقسیم شد و اختلافات میان گروه‌های بارندگی به کمک آزمون‌های آماری ناپارامتری کروسکال والیس و کلوموگرف اسپیرنوف مورد ارزیابی قرار گرفت. صحت استفاده از روابط معنی دار در پیش‌بینی احتمالی بارش ایران به کمک آزمون (Linear Error in Probability Space, LEPS) (برآورد گردید. (ب) سپس ضرایب همبستگی پیرسون همزمان و غیرهمزان (زمان تأخیر یک الی شش ماه) میان بارش ماهانه و فصلی ایران با نوسان اطلس شمالی (NAO)، North Atlantic Oscillation (NAO)، الگوی دریای شمال- خزر (North Caspian Pattern (NCP)، نوسان مدیترانه‌ای الجزایر- قاهره (MOac)، نوسان Mediterranean Oscillation-Algiers/Cairo (MOac)، نوسان مدیترانه‌ای جبل الطارق- اسرائیل (MOgi)، و نوسان غرب مدیترانه Mediterranean Oscillation-Gibraltar/Israel (MOgi)، دمای سطح آب مدیترانه (WeMO)، شاخص گردشی مدیترانه (MCI)، Western Mediterranean Oscillation (WeMO) و دمای سطح آب خلیج فارس (MSST) مورد تجزیه و تحلیل قرار گرفت. (ج) در پایان، به کمک رگرسیون چند متغیره گام‌به‌گام، در هر منطقه همگن بارش ایران شاخص‌های نوسانات مؤثر شناسایی شد. نتایج نشان داد که وضعیت پدیده انسو در فصل تابستان (جولای- سپتامبر) به طور غیرهمزان بر بارش‌های ماه اکتبر (مهر) و پائیزه (اکتبر- دسامبر) نواحی غرب، شمال‌غرب ایران و سواحل غربی دریای خزر تأثیر معنی دار دارد. به طوری که فازهای نیو (منفی) و لاتینا (مثبت) اغلب بترتیب با افزایش و کاهش بارش در این نواحی همراه هستند. استفاده از میانگین SOI جهت پیش‌بینی بارش نواحی ذکر شده مناسب است؛ اما استفاده از فازهای SST اقیانوس آرام و هند جهت پیش‌بینی بارش‌های ایران به دلیل وجود روابط ضعیف و ناپایدار پیشنهاد نمی‌شوند. NAO با بارندگی ماهانه نیمه غربی و شمالی ایران همبستگی معنی داری دارد. میان NAO و بارندگی ایران نواحی شمال‌غربی ایران در فصل زمستان و مناطق مرکزی و جنوب ایران در فصل پائیز همبستگی غیرهمزان و معنی داری مشاهده شد. NCP به طور همزمان با بارندگی نواحی شمالی کشور در مقیاس فصلی و ماهانه رابطه مستقیم و معنی داری داشت. رابطه شاخص‌های MOac و MOac با بارش ایران تقریباً مشابه و ضعیف بود؛ البته در مورد MOgi ضرایب همبستگی بالاتر بود. این دو شاخص بر بارش ماه می (اردیبهشت) نیمه غربی کشور و بارندگی بهاره (آوریل- ژوئن) نواحی غربی دریای خزر همبستگی معنی دار داشتند. شاخص MCI و WeMO به طور همزمان با بارندگی فصلی و ماهانه بخش‌های مختلف ایران همبستگی معکوسی دارند. این همبستگی در فصل زمستان (ژانویه- مارس) ماه‌های ژانویه (دی) و فوریه (بهمن) به طور وسیع‌تری در ایران معنی داری است. همبستگی معنی دار MSST و بارش ماهانه ایران در مناطق محدودی، بویژه سواحل دریای خزر، به صورت غیرهمزان و معکوس مشاهده شد؛ اما بارش فصلی ایران در ارتباط با شاخص MSST نمی‌باشد. دمای سطح آب خلیج فارس (PGSST) با بارش فصول بهار و پائیز و ماه آوریل (فروردین) نیمه شرقی ایران به صورت پایداری همبستگی منفی و معنی داری داشت. ارتباط معکوس MSST و PGSST با بارش ایران واقعی بنظر نمی‌رسد. مطالعه بیشتر در جهت نشان دادن تأثیر دور نوسانات اقیانوسی - اتمسفری و اقلیم ایران پیشنهاد می‌گردد؛ همچنین از شاخص‌های نوسانات اقیانوسی- اتمسفری در مدل‌های پیش‌بینی اقلیمی ایران در جهت بهبود مدیریت ریسک کشاورزی، منابع طبیعی و منابع آب می‌توان بهره گرفت.

کلمات کلیدی: بارش، نوسانات اتمسفری- اقیانوسی، انسو، Rainman، ایران

فصل اول

مقدمه

اقیانوس (آب سپهر) و اتمسفر (هوای سپهر) بویژه در انتقال انرژی، دائماً در ارتباط با یکدیگرند [۱۴۰]. با تبخیر آب‌های گرم اقیانوس‌ها، گرمای نهان اتمسفر جذب شده و بخار آب تشکیل می‌شود، میان این بخار آب در ارتفاعات موجب بارندگی خواهد شد. همچنین بادهای سطحی، محرك ایجاد جریانات اقیانوسی (جریان آب‌های گرم اقیانوسی به سمت قطب و آب‌های سرد اقیانوسی به سمت استوا) هستند [۱۰].

نوسانات اقیانوسی - اتمسفری از جمله واکنش‌های میان اتمسفر و اقیانوس می‌باشند. برای اولین بار واکر^۱، از دریانوردان و دانشمندان انگلیسی، به این نوسانات اشاره کرد [۱۳۶ و ۱۳۷]. او در مطالعات خود نشان داد که فشار هوا بین نواحی شمالی و جنوبی اقیانوس آرام به صورت الکلنگی^۲ نوسان می‌نماید. همچنین او توضیح داد که در زمان‌هایی که فشار سطحی هوا در شرق نواحی حاره‌ای اقیانوس آرام بیش (کمتر) از معمول می‌گردد، در نواحی غربی این اقیانوس، واقع در سواحل استرالیا، این فشار کمتر (بیشتر) از میانگین درازمدت می‌باشد. او نوسان فشار بین نواحی شرقی و غربی اقیانوس آرام را پدیده نوسانات جنوبی^۳ نامید. همچنین واکر نوسان اطلس شمالی (NAO)^۴ در حوزه اقیانوس اطلس شمالی و نوسان آرام شمالی (NPO)^۵ در حوزه اقیانوس آرام شمالی را نیز شناسایی کرد [۱۳۸]. در اوائل دهه ۱۹۶۰ محققان دریافتند که میان نوسان جنوبی و پدیده الینینو^۶ ارتباط نزدیکی وجود دارد [۱۰۰ و

¹ Walker

² Seasaw

³ Southern Oscillation

⁴ North Atlantic Oscillation (NAO)

⁵ North Pacific Oscillation (NPO)

⁶ El Niño

[۱۲۹]. الینو در ابتدا به جریان ضعیفی از آب گرم که در حوالی کریسمس (ژانویه (دی ماه)) در امتداد سواحل پرو (واقع در ناحیه حاره‌ای اقیانوس آرام جنوبی) و از شمال به سمت جنوب به حرکت درمی‌آمد، اطلاق می‌گردید. لغت اسپانیایی الینو به معنی «پسر» بوده و به علت همزمانی وقوع این جریان با تولد حضرت مسیح (ع)، این جریان آب گرم در زبان عامیانه مردم پرو و اکوادور به این نام نامیده شد [۱۲۶]. الینو طی قرن‌های متعدد برای مردم ساحل‌نشین امریکای جنوبی پدیده‌ای آشنا بوده است، زیرا وقوع این پدیده بر شرایط آب و هوایی و صید آبزیان آن مناطق مؤثر است. از دیدگاه مردم گرم شدن دمای سطح آب نشانگر اتمام موقتی دوره صید بوده، زیرا در این دوران موادغذایی مورد استفاده ماهیان کاهش می‌یابد. جریان آب گرم در سال‌های مختلف از لحاظ شدت، گستره جغرافیایی و دوام متفاوت است. در بعضی از سال‌ها گستره آب‌های گرم ناشی از وقوع این پدیده محدود به نواحی ساحلی نبوده، بلکه بخش وسیعی از شرق و مرکز اقیانوس آرام حاره‌ای را نیز شامل می‌شود. بنابراین الینو از دیدگاه علمی به گرم شدن بیش از معمول آب‌های شرقی و مرکزی ناحیه آرام حاره‌ای که از دوام و پایداری کافی برخوردار است، اطلاق می‌گردد [۲۰ و ۹۷].

پس از شناسایی ارتباط نزدیک پدیده الینو و نوسان جنوبی، این دو پدیده به صورت یک مجموعه، به نام الینو نوسان جنوبی (انسو)^۱، نامیده شدند. فازهای مختلف انسو بر اساس گرادیان فشار سطح آب و یا انحراف از میانگین دمای سطح آب در امتداد شرقی- غربی ناحیه اقیانوس آرام جنوبی مشخص می‌گردد [۲۰ و ۱۲۶]. سه فاز الینو، خنثی و لانینا^۲ اصلی ترین فازهای انسو می‌باشند [۹۷]. در ادامه برای درک بهتر این سه فاز، شرایط اقیانوسی و جوی در گستره اقیانوس آرام حاره‌ای در حالات الینو (گرم، معمولی (خنثی)، لانینا (سرد) مورد مقایسه قرار می‌گیرد.

در حالت معمولی (خنثی) در نواحی شرقی اقیانوس آرام دمای سطح آب و فشار هوای سطح آب بترتیب کمتر و بیشتر از مناطق غربی این اقیانوس است. علت این امر این است که جریان‌های زیرسطحی و سرد اقیانوسی که از غرب اقیانوس آرام (نواحی شرقی استرالیا) به سمت سواحل آمریکا در جریان می‌باشند، در اثر برخورد به قاره آمریکا به سمت نواحی سطحی هدایت گردیده و موجب می‌گردد تا گرادیان حرارتی و نیز اختلاف فشار هوای بین شرق و غرب اقیانوس آرام بوجود آمده و جریان باد حاصل از این امر به طور معمول از نواحی شرقی (منطقه سرد با فشار زیاد) به سوی سواحل استرالیا در غرب اقیانوس آرام (منطقه گرم با فشار کم) در حال وزش باشد (شکل ۱-الف). افزایش جریانات سرد به سمت امریکای جنوبی سبب پدید آمدن فاز لانینا (سرد) می‌شود. فاز لانینا در واقع حالت تشید شده شرایط معمولی (خنثی) می‌باشد.

تجمع بیش از حد معمول آب‌های گرم در نواحی غربی اقیانوس آرام برای همیشه ادامه نداشته و طی فرآیندهای پیچیده‌ای با تضعیف شدن بادهای تجاری، آب‌های ذخیره شده در این استخراج عظیم شروع به تخلیه شدن می‌نماید. فرآیند تخلیه با ایجاد یک جریان موجی شکل ضعیف از آب‌های این ناحیه به سمت نواحی شرقی آغاز می‌گردد. این امواج رو به شرق آب، اصطلاحاً جریان معکوس^۳ نامیده می‌شوند. جریان معکوس با به حرکت

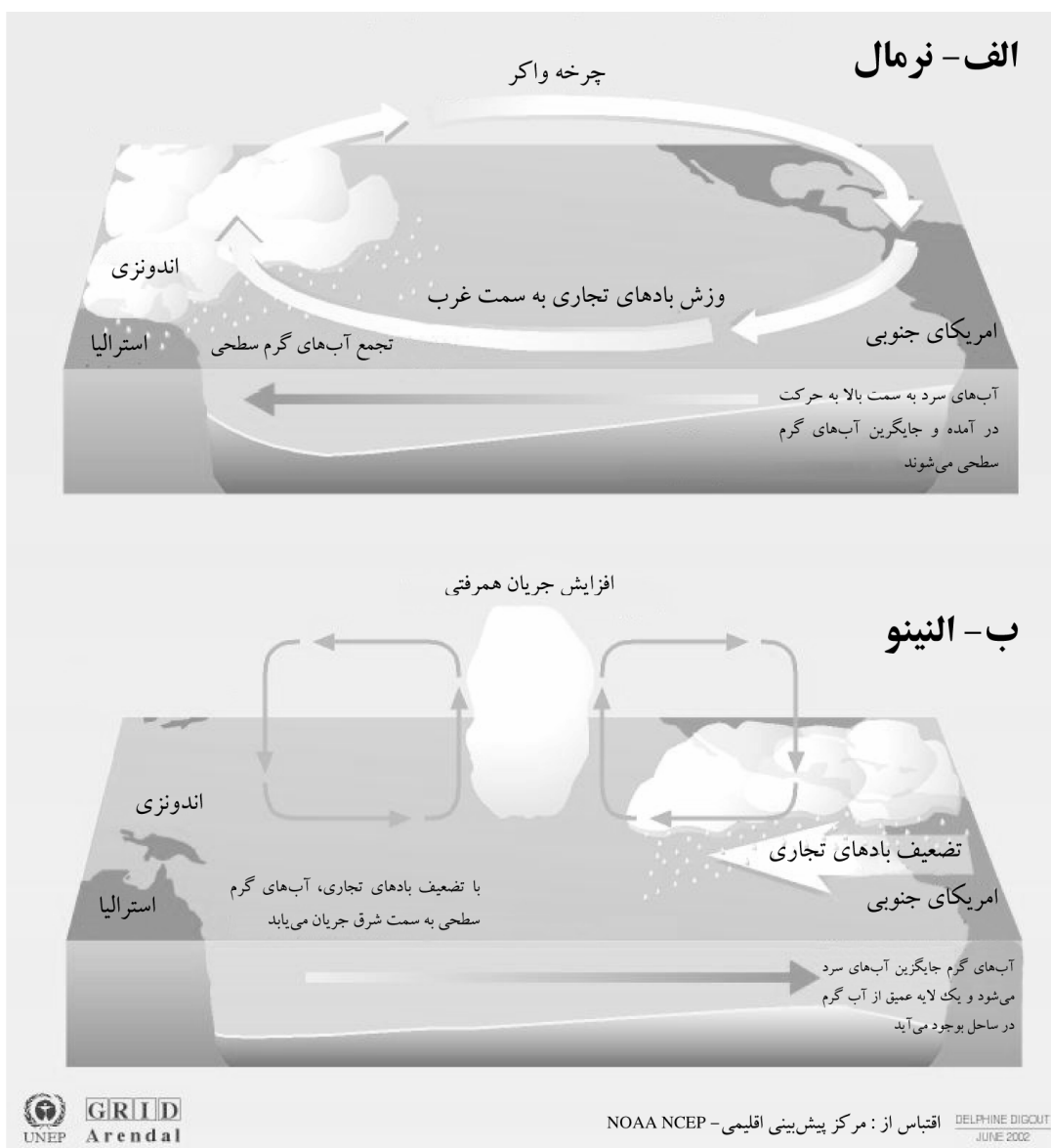
¹ El Niño-Southern Oscillation (ENSO)

² La Niña

³ Counter current

در آوردن عمقی آب‌های گرم مناطق غربی به سمت سواحل شرقی، در واقع جریانی بر خلاف حرکت رو به غرب آب‌های سطحی را بوجود می‌آورند. تقویت جریان معکوس، موجب می‌گردد تا حرکت آب‌های گرم از غرب به شرق اقیانوس از شدت زیادی برخوردار گردیده و شرایط لازم تضعیف لانینا و شروع النینو (گرم) فراهم گردد (شکل ۱-۱-ب). پدیده النینو به طور معمول هر سه تا هفت سال یکبار باشد، دوام، بزرگی و دامنه جغرافیایی اثرات متفاوت رخ می‌دهد [۱۳۹].

در فازهای حدی النینو و لانینا، شرایط جوی شرق (امریکای جنوبی) و غرب (استرالیا) اقیانوس آرام کاملاً عکس یکدیگر است. فاز النینو با بارش بیش از معمول و سیل در بخش غربی اقیانوس آرام (استرالیا) و خشکسالی در قطب مقابل آن یعنی امریکای جنوبی همراه است. هنگام فاز لانینا شرایط در این مناطق کاملاً بر عکس است، به طوری که استرالیا با بارش کمتر از معمول و امریکای جنوبی با بارش زیاد مواجه است.



شکل ۱-۱ مقایسه دمای سطح آب و شرایط جوی در پهنه اقیانوس آرام در حالت (الف) نرمال و (ب) النینو

قسمت عمده انرژی رسیده به سطح زمین توسط اقیانوس‌ها و بویژه اقیانوس آرام جذب شده و به صورت گرمای نهان وارد جو می‌شود. بنابراین عده‌ای معتقدند که این حجم عظیم انرژی می‌تواند به عنوان موتور محرک اتمسفر و اقیانوس‌ها محسوب شود و موقع پدیده انسو برهم خوردن تراز معمولی انرژی بین جو، خشکی و اقیانوس‌های جهان را در بی داشته باشد. در بعضی از مناطق جهان تأثیر دور^۱ پدیده انسو به صورت همزمان با موقع انسو در محل اصلی (اقیانوس آرام) و با تأخیر زمانی قابل مشاهده است. پدیده انسو و فازهای حدی آن به غیر از تأثیر بر بارش بسیاری از مناطق مختلف جهان [۱۱۲] سبب تغییرات شدید در شکل طبیعی پدیده‌های فیزیکی نظری سیستم‌های مونسون جهان، جت استریم‌ها (جابه‌جایی سریع هوا در سطح بالای جو)، جریانات اقیانوسی، نوسانات دما، نوسانات دبی روخانه‌ها، بروز آتش‌سوزی در جنگل‌ها، رونق یا رکورد صنایع صیادی، کشاورزی و دامپروری و در نتیجه مشکلات اقتصادی اجتماعی و حتی سیاسی می‌شود که در برخی موارد منجر به اغتشاشات سیاسی در برخی کشورها نیز شده است [۲۰].

انسو بزرگترین و معروف‌ترین نوسان اقیانوسی - اتمسفری شناخته شده است [۸۱]. علاوه بر آن، نوساناتی در حوزه‌های دیگر اقیانوسی نیز شناسایی شده‌اند. نوسان قطب شمال (AO)^۲، نوسان قطب جنوب (AAO)^۳ از جمله این نوسانات است. در مقیاس مکانی کوچک‌تر نیز نوساناتی همچون نوسان مدیترانه‌ای (MO)^۴ و الگوی دریای شمال - خزر (NCP)^۵ شناسایی شده‌اند.

امروزه با شناخت بیشتر نوسانات اقیانوسی - اتمسفری، به عنوان یکی از عوامل تأثیرگذار بر بارش هر منطقه، پیش‌بینی‌های اقلیمی بویژه در مورد بارش می‌تواند با آگاهی بیشتری انجام گیرد. برای مثال در گذشته براساس تغییر نور ستاره‌ها و رفتارهای خاص گیاهان و جانوران (برای مثال گله‌ی گیاهان خاص و یا تمایل پرندگان به ساختن لانه در بخش خاصی از درختان) میزان بارش هر منطقه برآورد می‌گردید [۶۱]. کشاورزان در بعضی از روستاهای امریکای جنوبی بر اساس تغییرات میزان نور ستاره‌های صور فلکی میزان بارش و محصول خود در تابستان و پائیز را پیش‌بینی می‌نمودند. حال آنکه تحقیقات اخیر نشان داده است تغییرات نور ستاره‌ها در این منطقه به دلیل تغییر پوشش ابرها در شرایط النینو بوده است [۹۰].

بکارگیری روش‌های آماری، مدل‌سازی و همچنین استفاده از رایانه در شناخت روابط پیچیده میان نوسانات اقیانوسی - اتمسفری و اقلیم هر منطقه بویژه بارش بسیار مفید بوده است [۱۴۱]. برای مثال بسیاری از کشاورزان، دامداران و متولیان امور آب در مناطق مختلف استرالیا از نرم‌افزار Rainman [۳۹] جهت آگاهی از میزان احتمالی بارش و جریان رودخانه فصلی استفاده می‌کنند. متداول‌ترین پیش‌بینی در این نرم‌افزار بر اساس پدیده انسو است. با توجه به این که این پدیده مناطق وسیعی از جهان را تحت تأثیر قرار می‌دهد، امکان استفاده از این نرم‌افزار وارد کردن اطلاعات اقلیمی مناطق مختلف جهان به Rainman وجود دارد؛ از این نرم‌افزار جهت بررسی روابط اقلیم هر

¹ Teleconnection

² Arctic oscillation (AO)

³ Antarctic Oscillation (AAO)

⁴ Mediterranean Oscillation (MO)

⁵ North Caspian pattern (NCP)

منطقه با پدیده انسو و همچنین پتانسیل استفاده از این روابط در پیش‌بینی‌های اقلیمی مناطق مختلف جهان می‌توان استفاده کرد. علاوه بر استرالیا در کشورهای هند، اندونزی و زیمبابوه استفاده از این نرم‌افزار در پیش‌بینی فصلی بارش و درنتیجه بهبود مدیریت کشاورزی مفید بوده است [۳۸].

از آن جا که پیش از نیمی از وسعت ایران را مناطق خشک و نیمه خشک فرا گرفته و بارش بسیار تغییر پذیر است، لذا پیش‌بینی بارش با صحت کافی ابزاری مفید در مدیریت ریسک بویژه در عرصه‌های منابع طبیعی می‌باشد [۴۲، ۱۲۸ و ۱۳۵]. بهبود پیش‌بینی‌های اقلیمی در مناطقی که کشت دیم [۸۲] و یا کشت آبی [۱۰۶] در آنجا صورت می‌گیرد، باعث بهبود تصمیمات مدیریتی و در نتیجه افزایش بازدهی تولیدات کشاورزی می‌گردد [۱۰۵]. بروز حوادث سیل و خشکسالی و تشديد این وقایع در اثر تغییرات آب و هوایی در نقاط مختلف جهان [۸۳، ۱۲۷ و ۱۳۳]، بر جوامع انسانی و اکوسیستم‌های طبیعی خسارات جبران ناپذیری وارد ساخته است [۶۶ و ۹۵]. برای مثال خشکسالی شدید سال ۱۹۹۹-۲۰۰۰ در ایران، به طور مستقیم تنها بر محصولات کشاورزی خسارتی معادل ۱۶۰۵ میلیون دلار امریکا بر جای گذاشت [۱۱۵]. در حالی که با انجام پیش‌بینی بارش، ضمن داشتن آمادگی لازم در برابر این حوادث، می‌توان به طرق مختلف (نظیر تصمیم بر روی الگوی کشت محصولات زراعی) خسارات را تا اندازه‌ای کاهش داد [۷۷ و ۴۵].

پیش‌بینی بارش می‌تواند باعث مدیریت بهتر مراتع گردد [۷۱]، برای مثال با پیش‌بینی به موقع خشکسالی و تطبیق تعداد دام، خسارات ناشی از خشکسالی کاهش یافته و از تخریب مراتع جلوگیری می‌گردد [۱۱۹]، همچنین دامداران اگر پیش‌بینی به موقع درباره وقوع فصل مرطوب داشته باشند می‌توانند تعداد دام خود را افزایش دهند [۶۵]. اولین گام در انجام پیش‌بینی‌های اقلیمی شناخت صحیح از عوامل مؤثر بر اقلیم منطقه است [۱۱۶]. با توجه به این که نوسانات اقیانوسی-اتمسفری از جمله عوامل مؤثر بر اقلیم جهان محسوب می‌شود. شناخت روابط نوسانات اقیانوسی-اتمسفری و بارش هر منطقه در بهبود پیش‌بینی‌های بارش کاربرد فراوانی خواهد داشت. در دهه اخیر بررسی روابط این نوسانات با بارش و دمای ایران مورد توجه محققین قرار گرفته است. در این مطالعات، روابط بارش و یا دمای ایران و یا منطقه‌ای از ایران در مقیاس‌های زمانی سه ماهه (فصلی) با انسو (ENSO) [۲۰، ۵۶، ۸۶، ۸۷ و ۱۰۴]، نوسانات قطب شمال (AO) [۵۹]، الگوی دریای شمال-خزر (NCP) [۵۸]، نوسانات اطلس شمالی (NAO) [۴۴] و نوسانات غربی دریای مدیترانه (WeMO)^۱ [۵۷] را مورد تجزیه و تحلیل قرار داده‌اند.

به دلیل اهمیت تأثیر پدیده انسو بر بارش جهانی، در مورد بارش ایران نیز بیشتر روابط انسو مورد توجه محققین بوده است. تاکنون در مطالعات انجام گرفته، روابط انسو و بارش ایران تنها با بکارگیری روش همبستگی و یا همبستگی متوالی مشخص شده است. در صورتی که نتایجی که با استفاده از روش‌های آماری متفاوت و همچنین داده‌های طولانی مدت‌تر اخذ شود، با اطمینان بیشتری می‌تواند در بررسی ارتباطات انسو و بارش ایران در پیش‌بینی‌ها استفاده گردد. همچنین جهت پیش‌بینی لازم است قبل از بهره‌گیری از این روابط پیش‌بینی صحت و پایداری^۲ هر

¹ Western Mediterranean Oscillation (WeMO)

² Persistance